

利用 CRISPR–Cas9 和 Cre/loxP 系统删除 34 个非必需基因构建 L–苏氨酸生产菌

丁志祥^{1,2}, 胡晓清^{1,2}, 柳亚迪^{1,2}, 王小元^{*1,2,3}

(1. 食品科学与技术国家重点实验室, 江南大学, 江苏 无锡 214122; 2. 江南大学 生物工程学院, 江苏 无锡 214122; 3. 江南大学 国际食品安全联合实验室, 江苏 无锡 214122)

摘要: L–苏氨酸是一种被广泛应用于食品、饲料及医药等领域的必需氨基酸。大肠杆菌以葡萄糖为碳源合成 L–苏氨酸的过程中,一些非必需基因的转录和翻译会消耗碳源。利用 CRISPR–Cas9 和位点特异性重组系统 Cre/loxP, 敲除了大肠杆菌 MG1655 基因组中 *puuE* 和 *ynal* 区间的 34 个非必需基因(共 30.372 kb), 获得了突变菌 MG003, 然后通过高表达 L–苏氨酸合成途径中关键基因 *thrA**, *thrB* 和 *thrC* 以及 L–苏氨酸转运酶编码基因 *rhtA* 和 *rhtC* 提高 L–苏氨酸产量。与对照菌 MG1655/pFW01–*thrA**BC 相比, MG003/pFW01–*thrA**BC 生长加快,L–苏氨酸产量提高 25.5%; MG003/pFW01–*thrA**BC–*rhtA* 的 L–苏氨酸产量提高了 43.3%; MG003/pFW01–*thrA**BC–*rhtC* 的 L–苏氨酸产量提高了 74.5%。研究结果表明,大肠杆菌基因组中 34 个非必需基因的删除有利于其提高 L–苏氨酸合成能力。

关键词: 大肠杆菌; L–苏氨酸; CRISPR–Cas9; Cre/loxP; *puuE*; *ynal*

中图分类号: Q 933 文章编号: 1673–1689(2020)11–0071–10 DOI: 10.3969/j.issn. 1673–1689.2020.11.010

Construction of L–Threonine–Producing *Escherichia coli* by Deleting 34 Non-Essential Genes Using CRISPR–Cas9 and Cre/loxP System

DING Zhixiang^{1,2}, HU Xiaoqing^{1,2}, LIU Yadi^{1,2}, WANG Xiaoyuan^{*1,2,3}

(1. State Key Laboratory of Food Science and Technology, Jiangnan University, Wuxi 214122, China; 2. School of Biotechnology, Jiangnan University, Wuxi 214122, China; 3. International Joint Laboratory on Food Safety, Jiangnan University, Wuxi 214122, China)

Abstract: L-threonine is an essential amino acid widely used in food, feed and medicine. In the process of L-threonine synthesis from glucose, transcription and translation of some non-essential genes consume carbon source. In this study, CRISPR-Cas9 and site-specific recombination system Cre/loxP were used to delete 34 non-essential genes (30.372 kb) between *puuE* and *ynal* genes in the genome of *E.coli* MG1655, resulting the mutant strain MG003. The genes *thrA**, *thrB* and *thrC*, the key genes in the L-threonine biosynthetic pathway, and the genes *rhtA* and *rhtC* encoding the L-threonine transporters, were then overexpressed in MG003 to increase the L-threonine production. Compared to the control strain MG1655/pFW01–*thrA**BC, MG003/pFW01–*thrA**BC grew faster and

收稿日期: 2019–04–01

基金项目: 国家轻工技术与工程一流学科自主课题项目(LITE2018–10)。

*通信作者: 王小元(1965—), 男, 博士, 教授, 博士研究生导师, 主要从事微生物代谢工程方面的研究。E-mail: xwang@jiangnan.edu.cn

produced 25.5% more L-threonine, MG003/pFW01-*thrA**BC-*rhtA* produced 43.3% more L-threonine, and MG003/pFW01-*thrA**BC-*rhtC* produced 74.5% more L-threonine. The results indicate that deletion of the 34 non-essential genes in *E. coli* could improve L-threonine production.

Keywords: *Escherichia coli*, L-threonine, CRISPR-Cas9, Cre/loxP, *puuE*, *ynal*

L-苏氨酸是8种必需氨基酸之一,被广泛应用于食品、饲料以及医药等领域,有着广阔的市场前景^[1]。L-苏氨酸的生产方式主要是通过微生物发酵,并且大肠杆菌由于发酵周期短,遗传背景清晰,便于基因改造,而成为了L-苏氨酸生产的主要菌株^[2]。大肠杆菌生产L-苏氨酸涉及糖酵解、TCA循环和L-苏氨酸生物合成途径,见图1。利用分子生物学技术来提高L-苏氨酸的产量已成为热门方向。*thrA*、*thrB*和*thrC*这3个基因都位于操纵子*thrABC*上,分别编码天冬氨酸激酶、高丝氨酸激酶和苏氨酸合酶。将*thrA*的第1034位碱基由C突变为T可解除苏氨酸对其反馈抑制^[3]。随着操纵子转录水平的提高,ThrA、ThrB和ThrC3种蛋白质的数量增加,从而使更多的碳流流向L-苏氨酸合成途径,L-苏氨酸产量得以提高。如将含有诱变操纵子ThrA*BC的重组质粒PVIC40引入到脱敏大肠杆菌菌株MG442中时,L-苏氨酸产量从8 g/L增加到18.4 g/L^[3]。胞内合成的L-苏氨酸经过由基因*rhtA*、*rhtB*、*rhtC*编码的3种输出蛋白质运送至胞外,但只有*rhtC*编码的RhtC对L-苏氨酸具有专一性^[2]。由于赖氨酸、蛋氨酸或甘氨酸的生物合成被这些突变体阻断,*lysA*、*metA*或*tdh*缺失突变体的L-苏氨酸产量显著增加^[4]。将糖酵解通量改向戊糖磷酸途径可减少乙酸积累并产生更多的NADPH,也可以增加L-苏氨酸产量^[5]。有研究表明,操纵L-苏氨酸生物合成和旁路代谢途径可提高L-苏氨酸的产量^[6-8]。在大肠杆菌以葡萄糖为碳源合成L-苏氨酸的过程中,并不需要所有的基因发挥其功能,而这些基因仍然会利用碳源进行转录,且翻译成相关蛋白质。作者所在实验室有一株从土壤中筛选得到的高产L-苏氨酸的大肠杆菌TWF001^[1],其基因组与野生型MG1655相比缺少*puuE*到*ynal*之间的DNA分子片段。大肠杆菌基因组上*puuE*到*ynal*之间的DNA分子长度为30.372 kb,包含*pspABCDE*、*ycjMNOPQRSTU*、*ycjWXF*3个操纵子和*puuE*、*ymjB*、*ompG*、*tyrR*、*tpx*、*ycjG*、*mpaA*、*ymiC*、*ycjY*、*ycjZ*、*mppA*和*ynal*12个单基

因,其中*pspABCDE*操纵子编码的噬菌体休克蛋白(Psp)系统负责修复内膜的损坏^[9];*ycjMNOPQRSTU*操纵子和*ompG*被认为可能是大肠杆菌中的一种未知碳水化合物的潜在分解代谢途径。近期也有研究表明,*ycjQRS*编码的蛋白质可以将D-古洛糖苷转化为D-葡萄糖苷^[10];由*puuE*基因所编码的GABA转氨酶可以将GABA转化为琥珀酸半醛,通过敲除*puuE*基因可以提高GABA的产量^[11];*tyrR*编码的TyrR蛋白是L-色氨酸生物合成和转运相关基因的调节因子^[12];*ycjG*、*mpaA*、*ycjYZ*和*mppA*编码的蛋白质可以降解肽聚糖补充氮源来抵抗氮源饥饿环境^[13];而*ycjWXF*、*ymjB*、*tpx*、*ymiC*和*ynal*基因的功能尚不清楚。通过对大肠杆菌基因组进行精简,可以达到减少碳源损耗的目的。

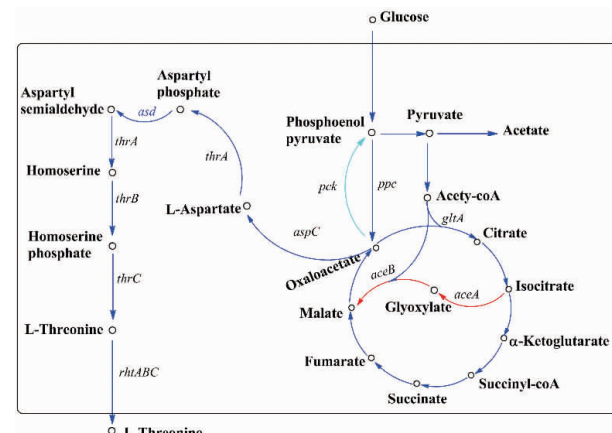


图1 大肠杆菌中L-苏氨酸的生物合成途径

Fig. 1 Biosynthesis pathway of L-threonine in *E. coli*

作者以大肠杆菌MG1655为出发菌株,结合CRISPR-Cas9技术^[14]和位点特异性重组系统Cre/loxP^[15]进行基因组大片段的敲除,构建了MG1655Δ*puuE*-*ynal*,将携带L-苏氨酸操纵子的质粒pFW01-*thrA**BC转入突变株中,进行摇瓶发酵,结果表明缺失*puuE*到*ynal*之间的DNA片段可以有效增加L-苏氨酸的产量。并且发现在突变株中加强*rhtC*的表达,相比于加强*rhtA*的表达,L-苏氨酸的增加更为明显。

1 材料与方法

1.1 材料与设备

1.1.1 菌株与培养基 出发菌株:大肠杆菌MG1655,作者所在实验室保藏,相关突变株和质粒见表1。大肠杆菌细胞在37℃或30℃的Luria-Bertani(LB)培养基(5 g/L酵母提取物,10 g/L蛋白胨和10 g/L氯化钠)中以200 r/min的旋转振荡生长,LB固体培养基需另加16 g/L琼脂粉。在培养和筛选过程中根据需要添加诱导剂或抗生素:异丙基硫代半乳糖苷(IPTG:0.5 mmol/L)、阿拉伯糖(30 mmol/L)、5-氯-2(2',4'-二氯苯氧基苯酚)(100 mg/L)、卡那霉素(50 mg/L)、壮观霉素(50 mg/L)、氨苄霉素(50 mg/L)。L-苏氨酸的生产水平和生长特性通过发酵法进行测定,种子培养基为LB培养基。摇瓶发酵培养基:30.0 g/L葡萄糖,2.0 g/L酵母粉,25.0 g/L (NH₄)₂SO₄,2.0 g/L柠檬酸,7.46 g/L KH₂PO₄,2.0 g/L MgSO₄·7H₂O,5 mg/L FeSO₄·7H₂O,5 mg/L MnSO₄·4H₂O,20 g/L CaCO₃,pH 6.8。115℃灭菌15 min^[17],上述试剂均购自国药集团化学试剂有限公司。

表1 本研究中使用的菌株和载体

Table 1 Strains and plasmids used in this study

菌株(质粒)	描述	来源
MG1655	Wild-type <i>E. coli</i> K-12	作者所在实验室保藏
MG001	MG1655 <i>puuE::loxP</i>	本研究
MG002	MG1655 <i>puuE::loxP, ynaI::loxP</i>	本研究
MG003	MG1655 <i>ΔpuuE-ynaI::loxP</i>	本研究
MG003/pFW01- <i>thrA*BC</i>	MG003 harboring pFW01- <i>thrA*BC</i>	本研究
MG003/pFW01- <i>thrA*BC-rhtA</i>	MG003 harboring pFW01- <i>thrA*BC-rhtA</i>	本研究
MG003/pFW01- <i>thrA*BC-rhtC</i>	MG003 harboring pFW01- <i>thrA*BC-rhtC</i>	本研究
pKD-Cre	ParaBcre, Repts, AmpR	[16]
pTargetF	pMB1 <i>aadAsg</i> RNA	[14]
pTargetF- <i>loxP-puuE</i>	pMB1 <i>aadAsg</i> RNA- <i>loxP-puuE</i>	本研究
pTargetF- <i>loxP-ynaI</i>	pMB1 <i>aadAsg</i> RNA- <i>loxP-ynaI</i>	本研究
pFW01- <i>thrA*BC</i>	pFW01 containing <i>thrA*BC</i>	[1]
pFW01- <i>thrA*BC-rhtA</i>	pFW01 containing <i>thrA*BC</i> and <i>rhtA</i>	[1]
pFW01- <i>thrA*BC-rhtC</i>	pFW01 containing <i>thrA*BC</i> and <i>rhtC</i>	[1]

1.1.2 实验设备 回旋式摇床(HYG-A):上海知楚公司;液相色谱仪(Agilent 1260):美国 Agilent 有限公司;核酸蛋白定量仪(GZNOVA):英国 Biochrom 公司;实时荧光定量 PCR 仪 (StepOnePlus): 美国 Applied Biosystems 公司;还原糖测定仪(SBA-40):山东科学院生物研究所。

1.2 实验方法

1.2.1 基因重组菌的构建 本研究所用的引物见表2。引物主要根据大肠杆菌 MG1655 基因组序列设 MG003 菌株是用CRISPR-Cas9 和 Cre/loxP 系统相结合的方法敲除基因 *puuE* 到 *ynaI* 之间的整个DNA片段。基因编辑进程中所用到的质粒图谱见图2。

表2 本研究中使用的引物

Table 2 Primers used in this study

引物名称	引物序列(5'→3')
sgRNA- <i>puuE</i> -F	CATCGAACGCGAAGCAGCTGGTTTAGAG CTAGAAATAGC
T- <i>puuE</i> -F	CATCGAACGCGAAGCAGCTGG
T- <i>sgRNA</i> -R	TCAAAAAAGCACCAGACTCGG
<i>loxP-puuEf1</i>	GACCTGTACTCATCTAGCCG
<i>loxP-puuEf2</i>	ATAACTTCGTATAGCATACATTATACGAAG TTATAAGACGACGCTGATGGAAT
<i>loxP-puuEr1</i>	ATAACTTCGTATAATGTATGCTATACGAAG TTATGCGACGAGCACCGTATT
<i>loxP-puuEr2</i>	CGCAGACTGATTCTTGTGG
sgRNA- <i>ynaI</i> -F	CATGCCGAAACCCCTGGCGTTAGAGC TAGAAATAGC
T- <i>ynaI</i> -F	CATGCCGAAACCCCTGGCG
<i>loxP-ynaIf1</i>	TTTAGCGACCCCTGTCG
<i>loxP-ynaIf2</i>	ATAACTTCGTATAGCATACATTATACGAAG TTATCGCATTACCAAGCACCATT
<i>loxP-ynaIr1</i>	ATAACTTCGTATAATGTATGCTATACGAAG TTATAAGCTGCGAACAACTCCC
<i>loxP-ynaIr2</i>	CAATGCTGCATGCAGTGAAT
<i>loxPf</i>	ATAACTTCGTATAATGTATGCTATACGAAG TTAT
RT- <i>ppc</i> -F	CCTGAACCTGGCCAACACCG
RT- <i>ppc</i> -R	GATTCCACTGCTTTTGATG
RT- <i>pck</i> -F	CGTTGGTAGAAAGCCGATG
RT- <i>pck</i> -R	GACAGCTTGATAGTTTTGC
RT- <i>aspC</i> -F	ACCCCATATACGCCAACTC
RT- <i>aspC</i> -R	GTTGCCACCATCCTGAGC
RT- <i>gltA</i> -F	CCGTCTGTTCCATGCTTCC
RT- <i>gltA</i> -R	CACATCGCGGCCATGGTCGG
RT- <i>aceA</i> -F	GCGTCAGTGAAGAAATGCG
RT- <i>aceA</i> -R	GCTGTACACGGGTGCGAAT
RT- <i>aceB</i> -F	CAACCGATGAACGGCTTC
RT- <i>aceB</i> -R	AGTTTATTGCGTTGTGGCGT

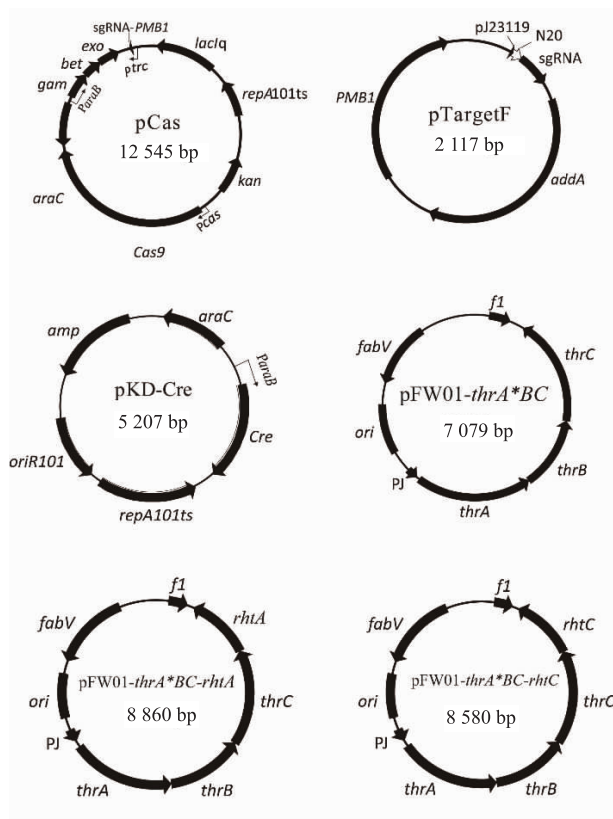


图 2 本研究所用到的质粒 pCas、pTargetF、pKD-Cre、pFW01-thrA*BC、pFW01-thrA*BC-rhtA 和 pFW01-thrA*BC-rhtC 的图谱

Fig. 2 Maps of different plasmids pCas, pTargetF, pKD-Cre, pFW01-thrA*BC, pFW01-thrA*BC-rhtA and pFW01-thrA*BC-rhtC used in this study

1) MG001 (MG1655 *puuE*:*loxP*) 的构建 将 *loxP* 位点的 13 bp 反向重复序列设计在上下游同源臂的引物重叠区。利用 CRISPR-Cas9 基因编辑技术首先在 *puuE* 的上游区插入 *loxP* 位点, 上游同源臂和下游同源臂分别用引物 *loxP-puuEf1*/*loxP-puuEf2* 和 *loxP-puuEr1*/*loxP-puuEr2* 进行扩增, 然后将上下游同源臂通过重叠 PCR 的方法连接成 *loxP-puuE* 打靶片段。质粒 pTargetF-*loxP-puuE* 是以原始质粒 pTargetF 为模板, 用引物 sgRNA-*puuE*-F 和 T-sgRNA-R 扩增得到线状的 pTargetF-*loxP-puuE* 片段, 再通过自连成环状质粒 pTargetF-*loxP-puuE*, 引物 T-*puuE*-F 和 T-sgRNA-R 用来验证质粒的正确性。然后将构建好的 100 ng 质粒 pTargetF-*loxP-puuE* 和 500 ng 打靶片段 *loxP-puuE* 电转化到 80 μL 的含有 pCas 的 MG1655 的感受态

中, 转化子通过含有卡那霉素和壮观霉素的 LB 双抗平板进行筛选(pCas 和 pTargetF 分别含有对卡那霉素和壮观霉素具有抗性的基因), 当在 30 ℃烘箱中培养 4 h 后, 用引物 *loxPf* 和 *loxP-puuEr2* 验证重组菌株的正确性, pTargetF-*loxP-puuE* 通过加入 IPTG 去除, 因为 IPTG 可以激活质粒 pCas 中控制 sgRNA-PMB1 表达的 *lacIq* 启动子, sgRNA-PMB1 可以切割质粒 pTargetF-*loxP-puuE* 的 PMB1 片段。通过在 42 ℃下过夜培养去除温敏型质粒 pCas。

2) MG002 (MG1655 *puuE*:*loxP*, *ynaI*:*loxP*) 的构建 采用 1.2.1 的方法在 *ynaI* 的下游区插入 *loxP* 位点, 上游同源臂和下游同源臂分别用引物 *loxP-ynaIf1*/*loxP-ynaIf2* 和 *loxP-ynaIr1*/*loxP-ynaIr2* 进行扩增, 然后将上下游同源臂通过重叠 PCR 的方法连接成 *loxP-ynaI* 打靶片段。质粒 pTargetF-*loxP-ynaI* 是以原始质粒 pTargetF 为模板, 用引物 sgRNA-*ynaI*-F 和 T-sgRNA-R 扩增得到线状的 pTargetF-*loxP-ynaI* 片段, 再通过自连成环状质粒 pTargetF-*loxP-ynaI*, 引物 T-*ynaI*-F 和 T-sgRNA-R 用来验证质粒的正确性, 后续的步骤与 1.2.1 相同。

3) MG003 (MG1655 *ΔpuuE-ynaI*:*loxP*) 的构建 通过 1.2.2 的方法, 成功构建了含有两个同向 *loxP* 位点的 MG002 菌株, 将质粒 pKD-Cre46 电转入 MG002 的感受态中, 用含有氨苄抗性的 LB 平板进行筛选, 转化子再通过加入阿拉伯糖诱导 Cre 重组酶的表达, 使两个 *loxP* 位点之间发生重组, *loxP-puuEf1* 和 *loxP-ynaIr2* 引物用来验证转化子的正确性。再通过 42 ℃过夜培养去除 pKD-Cre46 得到所需的目的菌株 MG003, 菌株构建示意图见图 3。UppuE 和 DpuuE 分别表示 *puuE* 基因的上下游同源臂, UynaI 和 DynaI 分别表示 *ynaI* 基因的上下游同源臂。

1.2.2 摆瓶发酵 先将冻干管菌液划线于无抗的 LB 固体培养基上活化菌株, 置于 37 ℃的培养箱中过夜培养, 再用接种环挑菌接种于装有 5 mL LB 液体培养基的试管中, 37 ℃、200 r/min 培养 4 h, 接着转接到二级种子摇瓶培养基中, 初始 OD₆₀₀ 为 0.1, 37 ℃、200 r/min 培养 4 h, 最后将上述培养液转接到发酵培养基中, 初始 OD 为 0.2, 37 ℃、200 r/min 培养 36 h, 每隔 6 h 取一次样。

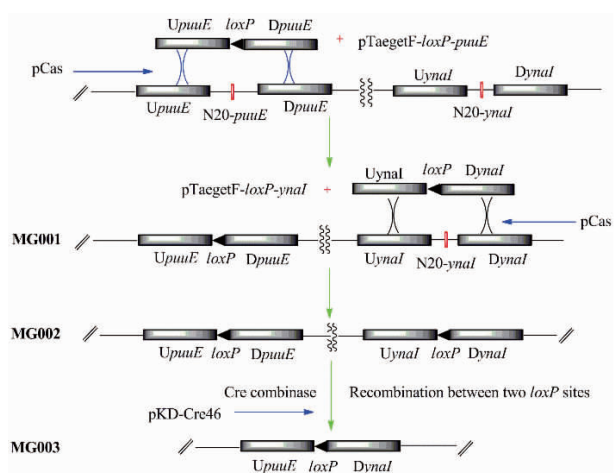
图3 大片段 *puuE-ynaIDNA* 片段敲除策略

Fig. 3 A strategy for generating deletion of large *puuE-ynaIDNA* fragment

1.2.3 发酵参数的测定

1) 生物量的测定 发酵菌株的生物量通过紫外分光光度计进行测定,用1 mol/L的盐酸稀释至OD₆₀₀=0.1~1之间。

2) 葡萄糖质量浓度的测定 葡萄糖质量浓度通过SBA-40还原糖测定仪进行测定,待仪器定标以后,取1 mL发酵液在12 000 r/min转速下离心2 min,将上清液用去离子水稀释100倍,混匀,测定葡萄糖质量浓度。

3)pH的测定 取1 mL发酵液在12 000 r/min离心2 min,将上清液置于pH计探头下,显示数值即为发酵液的pH。

4)氨基酸质量浓度的测定 样品的前处理:取1 mL发酵液在12 000 r/min下离心2 min,取上清液50 μL与950 μL 5%的三氯乙酸混匀,置于4 ℃冰箱2 h以上,待上清液蛋白质沉淀后,12 000 r/min离心15 min,然后用0.22 μm的水相针式滤膜过滤上清液,过滤后的上清液即为处理好的待测样品。

使用高效液相色谱法测定氨基酸的质量浓度,方法为邻苯二甲醛柱前衍生化法^[18]。仪器为Agilent1200超高效液相色谱仪,色谱柱为ThermoODS-2HYPERSILC18 column (250 mm×4.0 mm, USA)。流动相:水相(3.01 g无水乙酸钠溶解于超纯水中,200 μL三乙胺,5 mL四氢呋喃,用水定容至1 L,调pH至7.2)和有机相(3.01 g无水

乙酸钠溶解于200 mL超纯水中,调pH至7.2,400 mL HPLC乙腈,400 mL HPLC甲醇)。UV检测波长338 nm,流速1 mL/min,柱温40 ℃。

5)乙酸质量浓度的测定 样品的前处理:取1 mL的发酵液在12 000 r/min下离心2 min,取上清液300 μL与300 μL的去离子水混合均匀,12 000 r/min离心30 s,置于80 ℃水浴锅15 min以上,待上清液蛋白变性后,12 000 r/min再离心15 min,然后用0.22 μm的水相针式滤膜过滤上清液,过滤后的上清液即为处理好的待测样品。

采用高效液相色谱法测定乙酸质量浓度,仪器为Agilent1200超高效液相色谱仪,色谱柱为aminex HPX-87H column (300 mm×7.8 mm),流动相为0.005 mol/L的稀硫酸,流量设置为0.6 mL/min,柱温维持在50 ℃,紫外检测波长为210 nm。

1.2.4 基因的转录水平分析 采用实时逆转录聚合酶链反应(RT-qPCR)对不同大肠杆菌株中*ppc*、*pck*、*gltA*、*aspC*、*aceA*和*aceB*基因的mRNA进行定量分析。采用RNA提取试剂盒(中国北京,BioFlux)从对数生长中期的大肠杆菌细胞中提取总RNA。用核酸定量仪测定RNA的浓度,用4×gDNAwiper Mix(中国南京,Vazyme)从RNA样品中去除残留的DNA。再用5×HiScript II qRTSuperMix II(中国南京,Vazyme)将RNA反转录成cDNA。采用ABIStep OneRT-PCR系统(美国加利福尼亚州圣马特奥市应用生物系统)和ChamQ™ Universal SYBR® qPCR Mastet Mix(中国南京,Vazyme)进行RT-PCR。表2列出了本研究中使用的引物,采用RT-PCR程序为:95 ℃,30 s;95 ℃,10 s;60 ℃,30 s;40个循环。根据周期阈值定量目标mRNAs的相对丰度,该阈值定义为获得背景以上荧光信号所需的周期数,并根据2-ΔΔCT公式进行计算^[19]。为了使结果标准化,采用16S rRNA相对丰度作为内部标准控制。

1.2.5 数据分析方法 本研究中单项方差分析(one-way analysis of variance)被应用于数据分析^[20]。单项方差分析也是一种最简单的方差分析方法,以Excel为分析工具,OD₆₀₀、葡萄糖消耗速率、L-苏氨酸的合成、乙酸的形成和基因的转录水平之间的差异用单项方差分析得出p值,p小于0.05,表明显著的差异。

2 结果与讨论

2.1 大肠杆菌 MG655 基因组中 34 个非必需基因的删除对菌株生长无明显影响

从基因 *puuE* 的起始密码子到 *ynal* 的终止密码子共有 30.372 kb, 用传统的 Red 同源重组的基因编辑方法无法敲除, 已有文献报道位点特异性重组系统 Cre/loxP 可以进行大片段的敲除^[21], 但通过普通的 Red 同源重组在基因组中引入两个 loxP 位点并不容易。作者第一次将 CRISPR-Cas9 技术和位点特异性重组系统 Cre/loxP 结合进行大肠杆菌大片段 DNA 分子的敲除, 因为 CRISPR-Cas9 基因编辑技术相对于传统的 Red 同源重组有着更高的编辑效率。首先利用 CRISPR-Cas9 技术在 *puuE* 的上游区插入第一个 loxP 位点, 采用 1.2.1(1) 验证方法, 正确插入 loxP 位点条带大小为 313 bp, 见图 4 泳道 1。野生型无 loxP 结合位点, 见泳道 2。然后在 *ynal* 的下游区插入第二个 loxP 位点, 采用 1.2.1 中(2) 验证方法, 正确插入 loxP 位点条带大小为 306 bp, 见泳道 3, 野生型见泳道 4。最后转入质粒 pKD-Cre46, 使两个 loxP 位点之间发生重组, 采用 1.2.1 中(3) 的验证方法, 突变株条带大小为 554 bp(见泳道 5), 野生型有 30 kb 左右, 无法 PCR 出条带。待 DNA 测序分析正确后, 我们成功构建了 MG003 突变株。

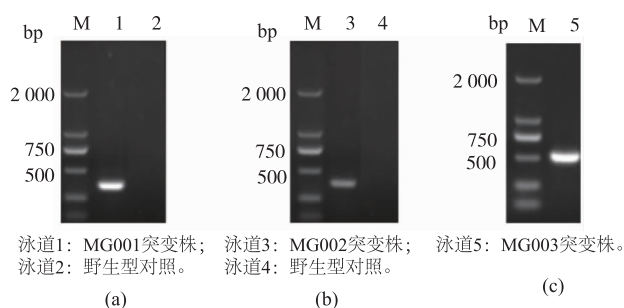


图 4 MG001、MG002 和 MG003 突变菌株构建验证
Fig. 4 Verification of MG001, MG002 and MG003 mutant strains by PCR

为了研究大片段 *puuE-ynal* 的缺失对菌株的生长特性的影响, 我们以 MG1655 为对照菌, 将 MG003 在 LB 培养基中进行生长曲线的测定。如图 5 所示, 在 6 h 前, MG003 的生长一直优于野生型 MG1655, 但 6 h 后, 生长变慢。在培养 14 h 后,

MG003 的 OD₆₀₀ 达到 4.78, 而野生型 MG1655 的 OD₆₀₀ 为 5.03。两菌株的 pH 变化趋势并无明显区别, 都是 3 h 之前下降, 3 h 之后逐步上升。结果表明, 大片段 *puuE-ynal* 的缺失会略微影响菌株的生长, 而不会影响生长过程中的 pH。对数期生长的加快且最终 OD₆₀₀ 的降低有利于发酵生产 L-苏氨酸, 因为对数期的加快可以缩短发酵周期, 并且在不影响菌株活力的情况下, OD₆₀₀ 的降低可以使更多的碳源合成我们所需要的目标产物。

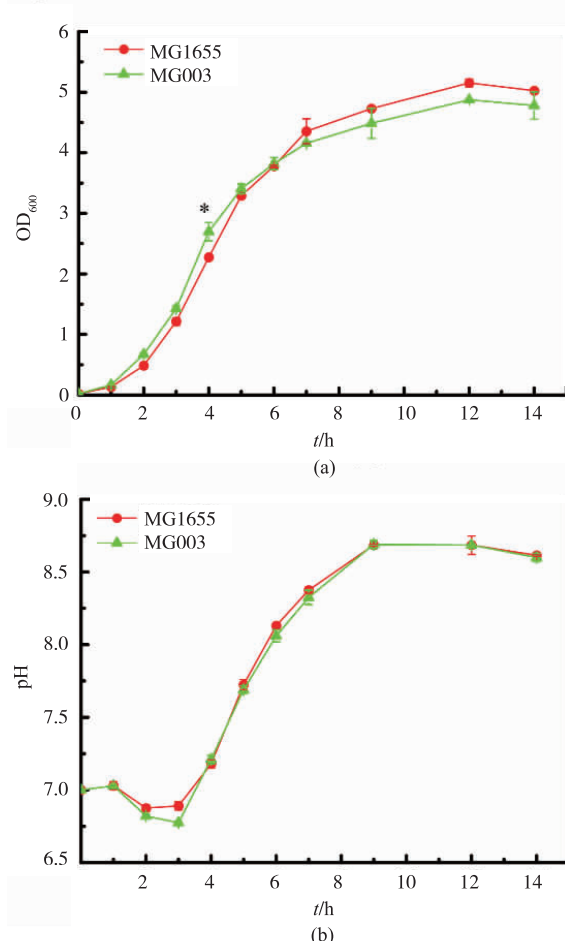


图 5 MG003 的生长曲线测定

Fig. 5 Measurement of growth curve of MG003

2.2 大肠杆菌基因组中 34 个非必需基因的删除有利于 L-苏氨酸合成

基因 *puuE* 到 *ynal* 之间的 DNA 分子含有操纵子 *pspABCDE* 和 *ycjMNOPQRSTU*, 还包括 *ymjB*、*ycjG* 等单基因片段。为了研究大片段 *puuE-ynal* 对 L-苏氨酸发酵的影响, 质粒 pFW01-*thrA*BC* 分别转入到野生型 MG1655 和突变株 MG003 中。摇瓶发

酵结果见图6。MG003/pFW01-*thrA*BC*的生长明显优于对照菌MG1655/pFW01-*thrA*BC*,并且葡萄糖消耗速率有略微提高。可能是由于基因组的精简,导致更多的碳源用于生长。在发酵36 h后,L-苏氨酸在MG003/pFW01-*thrA*BC*中的产量达到0.64 g/L,相较于对照菌MG1655/pFW01-*thrA*BC*提高了25.5%。这些数据表明,大片段*puuE-ynal*的缺失可以促进菌株的生长和提高L-苏氨酸的产量。为了探究胞内代谢水平变化,发酵36 h后,我们也对副产物乙酸和中间代谢物丙酮酸进行了测定。如图6(c)所示,与对照菌MG1655/pFW01-*thrA*BC*相比, MG003/pFW01-*thrA*BC*乙酸质量浓度下降7.5%,丙酮酸质量浓度上升9.3%。表明大片段*puuE-ynal*的缺失降低了丙酮酸向乙酸的转化率。

为了更好地解释发酵过程中OD₆₀₀、葡萄糖消耗、L-苏氨酸和有机酸的质量浓度在MG1655/pFW01-*thrA*BC*和MG003/pFW01-*thrA*BC*的不同,对与L-苏氨酸代谢的相关基因*ppc*、*pck*、*gltA*、*aspC*、*aceA*和*aceB*的转录水平进行了测定。基因*ppc*的转录水平显著上调,而*pck*略微上调,表明从磷酸烯醇式丙酮酸到草酰乙酸路径被加强,而草酰乙酸是L-苏氨酸合成的前体物质,*aspC*基因的略微上调可以将草酰乙酸更多的转向L-天冬氨酸^[22],这正好解释L-苏氨酸的产量在MG003/pFW01-*thrA*BC*菌株中的增加。另一方面,基因*gltA*的转录水平上调可以促进更多的碳流从丙酮酸转向TCA循环,而不是合成副产物乙酸^[23]。基因*aceA*和*aceB*的转录水平有略微下调,表明乙醛酸循环并没有由于大片段*puuE-ynal*的缺失而激活。在大片段*puuE-ynal*之间的DNA分子中,基因*puuE*和*tyrR*被分别报道与GABA和L-色氨酸合成相关^[11-12];基因*ycjG*、*mpaA*、*ycjYZ*和*mppA*都与肽聚糖的降解相关^[13]。操纵子*pspFABCDE*与内膜修复相关^[9],操纵子*ycjMNOPQRSTU*V被认为作用于未知碳水化合物的分解代谢^[10],这些已知的功能与L-苏氨酸的合成并无直接联系。而*ycjWXF*、*ymjB*、*tpx*、*ymiC*和*ynal*基因的功能尚未被完全揭开。在本研究中,我们证明了大片段*puuE-ynal*的缺失并不会损害菌株的生长性能,反而能提高L-苏氨酸的合成能力。

2.3 通过加强L-苏氨酸的外转运进一步提高L-苏氨酸产量

为了进一步增加L-苏氨酸的产量,在MG003

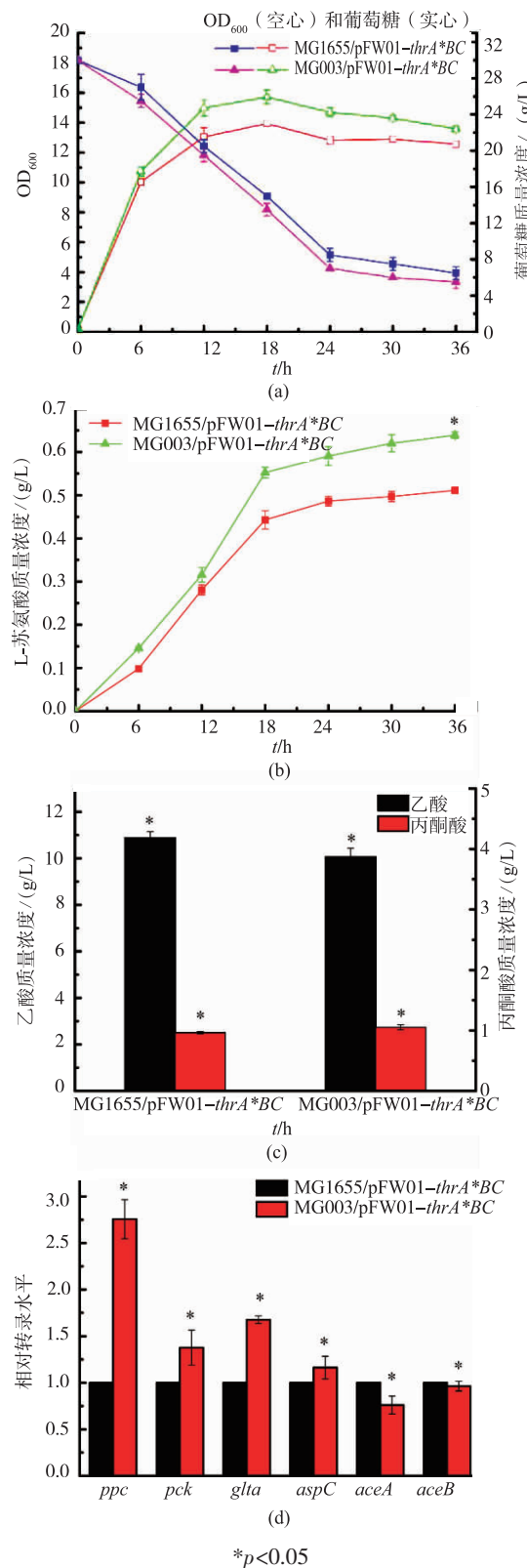
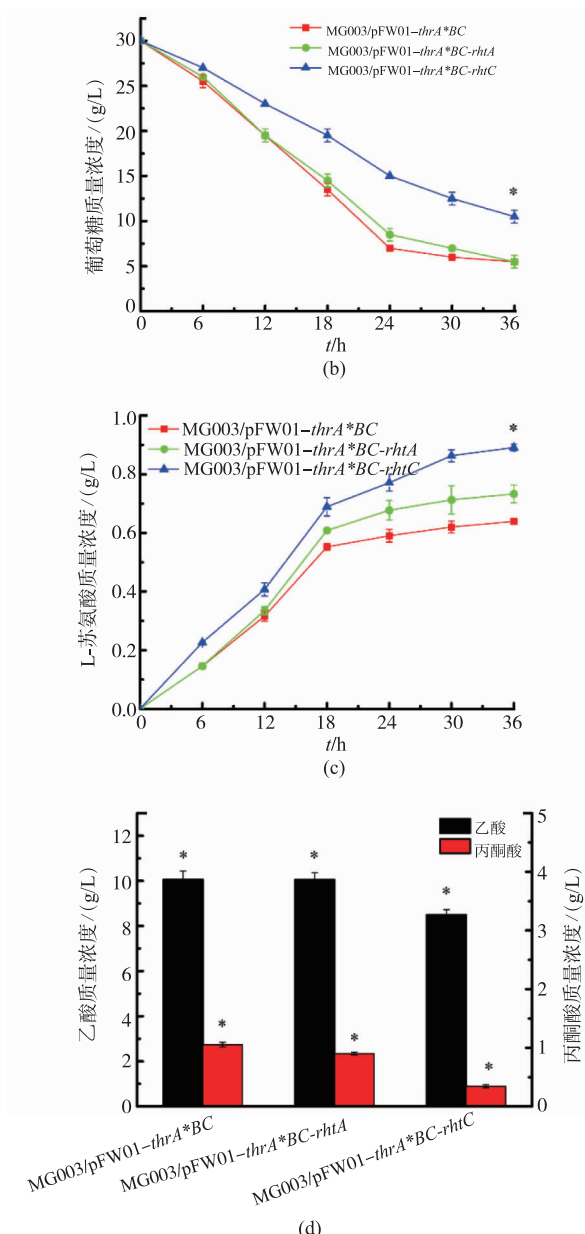
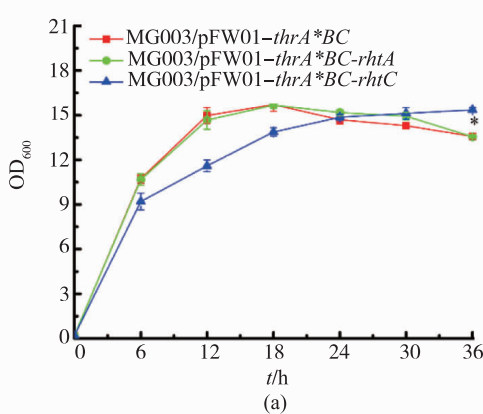


图6 MG1655/pFW01-*thrA*BC*和MG003/pFW01-*thrA*BC*的摇瓶发酵

Fig. 6 Flask cultivation of MG1655/pFW01-*thrA*BC* and MG003/pFW01-*thrA*BC* strains

中分别转入 pFW01-*thrA**BC-*rhtA* 和 pFW01-*thrA**BC-*rhtC*, 构建菌株 MG003/pFW01-*thrA**BC-*rhtA* 和 MG003/pFW01-*thrA**BC-*rhtC*。以 MG003/pFW01-*thrA**BC 为对照, 将 MG003/pFW01-*thrA**BC-*rhtA* 和 MG003/pFW01-*thrA**BC-*rhtC* 进行摇瓶发酵。如图 7 所示, MG003/pFW01-*thrA**BC-*rhtA* 的生长和糖耗与对照菌 MG003/pFW01-*thrA**BC 无明显区别, 而 MG003/pFW01-*thrA**BC-*rhtC* 在发酵前中期生长慢于 MG003/pFW01-*thrA**BC, 葡萄糖消耗速率也随之降低。但是发酵 36 h 后, L-苏氨酸在 MG003/pFW01-*thrA**BC-*rhtA* 和 MG003/pFW01-*thrA**BC-*rhtC* 分别达到了 0.73、0.89 g/L。较 MG003/pFW01-*thrA**BC 分别提高了 15.8% 和 36.5%。这些结果表明, *rhtA* 和 *rhtC* 的加强都可以增加 L-苏氨酸的产量, 但 *rhtC* 增加的效果更明显, *RhtA* 并不是特异性 L-苏氨酸输出蛋白, 它还可以向胞外转运 L-丝氨酸, 而 *RhtC* 底物专一性更好, 只能转运 L-苏氨酸^[24]。为了进一步探究加强 *rhtA* 和 *rhtC* 的表达对胞内代谢水平的影响, 发酵 36 h 后, 对副产物乙酸和中间代谢物丙酮酸进行了测定。与对照菌 MG003/pFW01-*thrA**BC 相比, MG003/pFW01-*thrA**BC-*rhtA* 乙酸质量浓度无明显变化, 丙酮酸略微降低; 而 MG003/pFW01-*thrA**BC-*rhtC* 中乙酸和丙酮酸质量浓度都显著降低, 分别为 8.49、0.34 g/L, 下降了 15.5% 和 67.6%。表明加强 *rhtC* 的表达更能促进碳流从丙酮酸转向 TCA 循环来积累 L-苏氨酸, 而不是合成副产物乙酸。



$*p<0.05$

图 7 MG003/pFW01-*thrA**BC, MG003/pFW01-*thrA**BC-*rhtA* 和 MG003/pFW01-*thrA**BC-*rhtC* 的摇瓶发酵

Fig. 7 Flask cultivation of MG003/pFW01-*thrA**BC, MG003/pFW01-*thrA**BC-*rhtA* and MG003/pFW01-*thrA**BC-*rhtC* strains

3 结语

通过利用 CRISPR-Cas9 和系统 Cre/loxP 系统对大肠杆菌 *puuE*-*ynal* 之间 34 个非必需基因进行敲除, 构建了菌株 MG003。通过高表达 L-苏氨酸合

成途径中关键基因 *thrA**、*thrB* 和 *thrC* 以及 L-苏氨酸转运酶编码基因 *rhtA* 和 *rhtC* 提高 L-苏氨酸产量。与对照菌 MG1655/pFW01-*thrA***BC* 相比, MG003/pFW01-*thrA***BC* 生长加快,L-苏氨酸产量提高 25.5%; MG003/pFW01-*thrA***BC*-*rhtA* 的 L-苏氨酸产量提高了 43.3%; MG003/pFW01-*thrA***BC*-*rhtC* 的 L-苏氨酸产量提高了 74.5%。研究发现,大片段 *puuE*-*ynal* 的缺失可以增强 *ppc* 和 *gltA* 基因的转录水平,基因 *ppc* 转录水平的提高可以增加 L-苏氨酸的前体物质草酰乙酸的质量浓度,基因 *gltA* 的转录水平提高可以增加 TCA 循环通量,从而促进

菌株的生长。基因 *aspC* 的转录水平也略微提高,这些正好可以解释在突变株 MG003 中 L-苏氨酸的产量的增加。加强 *rhtA* 和 *rhtC* 的表达都可以进一步增加 L-苏氨酸的产量,但 *rhtC* 增加更为明显,并且乙酸和丙酮酸质量浓度都显著降低,更加有利于 L-苏氨酸的积累。作者通过敲除 34 个非必需基因提高了 L-苏氨酸的产量,此外在大肠杆菌基因组中还有很多非必需基因簇,通过大肠杆菌基因组精简,减少碳源的非必需消耗,也可以用来提高其他目标代谢产物的产量,并且对工业化菌株的改造具有指导意义。

参考文献:

- [1] ZHAO H,FANG Y,WANG X,et al. Increasing L-threonine production in *Escherichia coli* by engineering the glyoxylate shunt and the L-threonine biosynthesis pathway[J]. *Appl Microbiol Biotechnol*,2018,102(13):5505-5518.
- [2] DONG X,QUINN P J,WANG X. Metabolic engineering of *Escherichia coli* and *Corynebacterium glutamicum* for the production of L-threonine[J]. *Biotechnol Adv*,2011,29(1):11-23.
- [3] LIVSHITS V A,ZAKATAEVA N P,ALESHIN V V,et al. Identification and characterization of the new gene *rhtA* involved in threonine and homoserine efflux in *Escherichia coli*[J]. *Research in Microbiology*,2003,154(2):123-135.
- [4] LEE K H,PARK J H,KIM T,Y ,et al. Systems metabolic engineering of *Escherichia coli* for L-threonine production[J]. *Mol Syst Biol*,2007,149(3):1744-4294.
- [5] XIE X,LIANG Y,LIU H,et al. Modification of glycolysis and its effect on the production of L-threonine in *Escherichia coli*[J]. *J Ind Microbiol Biotechnol*,2014,41(6):1007-1015.
- [6] DONG X,ZHAO Y,HU J,et al. Attenuating l-lysine production by deletion of *ddh* and *lysE* and their effect on l-threonine and l-isoleucine production in *Corynebacterium glutamicum*[J]. *Enzyme Microb Technol*,2016,93-94:70-78.
- [7] KRUSE D,KR MER R,EGGELING L,et al. Influence of threonine exporters on threonine production in *Escherichia coli*[J]. *Appl Microbiol Biotechnol*,2002,59(2):205-210.
- [8] ZHANG Y,MENG Q,MA H,et al. Determination of key enzymes for threonine synthesis through in vitro metabolic pathway analysis[J]. *Microb Cell Fact*,2015,14:86.
- [9] ANH LE T T,THUPTIMDANG P,MCEVOY J,et al. Phage shock protein and gene responses of *Escherichia coli* exposed to carbon nanotubes[J]. *Chemosphere*,2019,224:461-469.
- [10] MUKHERJEE K,HUDDLESTON J P,NARINDOSHVILI T,et al. Functional characterization of the *ycjQRS* gene cluster from *Escherichia coli*;a novel pathway for the transformation of d-Gulosides to d-Glucosides[J]. *Biochemistry*,2019,58(10):1388-1399.
- [11] ZHAO A,HU X,WANG X. Metabolic engineering of *Escherichia coli* to produce gamma-aminobutyric acid using xylose[J]. *Appl Microbiol Biotechnol*,2017,101(9):3587-3603.
- [12] NIU H,LI R,LIANG Q,et al. Metabolic engineering for improving L-tryptophan production in *Escherichia coli* [J]. *J Ind Microbiol Biotechnol*,2019,46(1):55-65.
- [13] CHOI U,PARK Y H,KIM Y R,et al. Increased expression of genes involved in uptake and degradation of murein tripeptide under nitrogen starvation in *Escherichia coli*[J]. *FEMS Microbiol Lett*,2016,363(14):136.
- [14] JIANG Y,CHEN B,DUAN C,et al. Multigene editing in the *Escherichia coli* genome via the CRISPR-Cas9 system [J]. *Appl Environ Microbiol*,2015,81(7):2506-2514.
- [15] FUKIYA S,MIZOGUCHI H,MORI H. An improved method for deleting large regions of *Escherichia coli* K-12 chromosome using a combination of Cre/loxP and Lambda Red[J]. *FEMS Microbiol Lett*,2004,234(2):325-331.
- [16] HAN Y,LI Y,CHEN J,et al. Construction of monophosphoryl lipid A producing *Escherichia coli* mutants and comparison of

- immuno-stimulatory activities of their lipopolysaccharides[J]. **Mar Drugs**, 2013, 11(2):363-376.
- [17] LEE J H, SUNG B H, KIM M S, et al. Metabolic engineering of a reduced-genome strain of *Escherichia coli* for L-threonine production[J]. **Microb Cell Fact**, 2009, 8(1):2-10.
- [18] KOR S A, VARGA Z, MOLN R-PERL I. Simultaneous analysis of amino acids and amines as their o-phthalaldehyde-ethanethiol-9-fluorenylmethyl chloroformate derivatives in cheese by high-performance liquid chromatography[J]. **Journal of Chromatography A**, 2008, 1203(2):146-152.
- [19] NOLDEN L, FARWICK M, KR MER R, et al. Glutamine synthetases of *Corynebacterium glutamicum*: transcriptional control and regulation of activity[J]. **FEMS Microbiol Lett**, 2001, 201(1):91-98.
- [20] LIU J, LI H, XIONG H, et al. Two-stage carbon distribution and cofactor generation for improving L-threonine production of *Escherichia coli*[J]. **Biotechnol Bioeng**, 2019, 116(1):110-120.
- [21] YANG Y J, SINGH R P, LAN X, et al. Genome editing in model strain myxococcus xanthus DK1622 by a site-specific Cre/loxP recombination system[J]. **Biomolecules**, 2018, 8(4):137.
- [22] LEE J H, LEE D E, LEE B U, et al. Global analyses of transcriptomes and proteomes of a parent strain and an L-threonine-overproducing mutant strain[J]. **Journal of Bacteriology**, 2003, 185(18):5442-5451.
- [23] DE MEY M, DE MAESENEIRE S, SOETAERT W, et al. Minimizing acetate formation in *E. coli* fermentations [J]. **J Ind Microbiol Biotechnol**, 2007, 34(11):689-700.
- [24] DIESVELD R, TIETZE N, F RST O, et al. Activity of exporters of *Escherichia coli* in *corynebacterium glutamicum*, and their use to increase L-threonine production[J]. **J Mol Microbiol Biotechnol**, 2009, 16(3/4):198-207.

科 技 信 息

欧盟重新评估聚乙烯吡咯烷酮(E1201)和聚乙烯聚吡咯烷酮(E1202)作为食品添加剂的安全性

2020年8月10日,据欧盟食品安全局(EFSA)消息,欧盟食品添加剂和调味剂小组(FAF)重新评估了聚乙烯吡咯烷酮(polyvinylpyrrolidone)(E1201)和聚乙烯聚吡咯烷酮(polyvinylpolypyrrolidone)(E1202)作为食品添加剂的安全性并扩大聚乙烯吡咯烷酮(E1201)的使用范围。

经过评估,专家小组认为报告的聚乙烯吡咯烷酮(E1201)和聚乙烯聚吡咯烷酮(E1202)用作食品添加剂的用途和使用水平没有安全问题。在建议的最大允许水平和建议的消费水平下,预期的扩展使用范围不会对安全造成影响。

[信息来源]食品伙伴网.欧盟重新评估聚乙烯吡咯烷酮(E1201)和聚乙烯聚吡咯烷酮(E1202)作为食品添加剂的安全性[EB/OL]. (2020-08-11).<http://news.foodmate.net/2020/08/568770.html>